

doi: 103969/j. issn. 0490-6756. 2017. 03. 036

白介素 24 融合蛋白的表达、纯化 和促伤口愈合功能的鉴定

于偌萱¹, 周 虹¹, 梁 朋^{1,2}

(1. 四川大学生命科学学院, 成都 610064; 2. 生物治疗国家重点实验室, 成都 610064)

摘要: 本研究通过优化小鼠白介素 24(mIL-24)基因序列, 构建以 Fc-tag 为标签的 mIL-24-Fc 融合蛋白。对 CHO 进行 MTX 分级加压筛选, 获得了稳定、高表达 mIL-24-Fc 蛋白的阳性克隆, 同时优化了 CHO 细胞无血清驯化与稳定表达蛋白体系。经 protein A 亲和层析纯化 mIL-24-Fc 蛋白并利用 AP binding 实验检测生物学活性后, 小鼠皮内注射 mIL-24-Fc 蛋白和伤口愈合实验证明: 注射 mIL-24-Fc 蛋白后, 小鼠表皮产生 2~3 层细胞增生, 伤口愈合速度加快。

关键词: 白介素 24; protein A; 银屑病; 伤口愈合

中图分类号: Q511 **文献标识码:** A **文章编号:** 0490-6756(2017)02-0436-05

Expression, purification and identification of wound healing function of Interleukin-24 fusion protein

YU Ruo-Xuan¹, ZHOU Hong¹, LIANG Peng^{1,2}

(1. College of Life Sciences, Sichuan University, Chengdu 610064, China;
2. State Key Laboratory of Biotherapy, Chengdu 610064, China)

Abstract: In this study, the mIL-24-Fc fusion protein tagged with Fc-tag was constructed by optimizing the sequence of murine interleukin 24 (mIL-24) gene. The stable and high expression of mIL-24-Fc protein was screened at different concentrations of MTX, and the serum-free cell culture technique and stable expression system of CHO cells were optimized. MIL-24-Fc fusion protein was purified by protein A affinity chromatography and confirmed by AP binding assay. The result showed that after intradermal injections of mouse, a large number of keratinocytes showed two to three proliferation and in wound-healing process, epidermal hyperplasia was promoted and wound healing process was accelerated by mIL-24-Fc.

Keywords: Interleukin-24; Protein A; Psoriasis; Wound-healing

1 引言

白介素 24 (Interleukin-24, IL-24) 是 Jiang 等^[1]于 1995 年利用消减杂交技术从人的终末分化黑素瘤细胞中分离鉴定到, IL-24 基因在黑色素瘤细胞中高表达并可促进黑色素瘤细胞的分化。IL-

24 基因与 IL-10 家族 (IL-10、IL-19、IL-20、IL-22、IL-24、IL-26) 基因位置相似, 结构类似。同时, IL-24 与 IL-19、IL-20 享有共同受体 IL-20R1/IL-20R2; IL-24 与 IL-20 同样也能和 IL-22R1/IL-20R2 结合^[2,3], 因此把他它归为白介素家族一员。

白介素家族成员与银屑病息息相关。银屑病是

收稿日期: 2016-01-05

基金项目: 国家自然科学基金(81171955)

作者简介: 于偌萱(1991—), 女, 重庆人, 硕士研究生, 研究方向为蛋白质化学及基因工程。E-mail: anitayu1991@foxmail.com

通讯作者: 梁朋。E-mail: liangpeng@scu.edu.cn

存在于普遍人群中的最主要的慢性炎症性皮肤病^[4]. IL-10 对银屑病具有一定抑制作用, 它能抑制 IL-24 诱导分泌的 Th1 型细胞因子。同时, He 和 Liang^[5] 的 IL-24 转基因小鼠实验结果表明, IL-24 转基因小鼠与 IL-20、IL-22 转基因小鼠有相同的特征如新生胎致死、表皮增生和角化细胞异常分化等现象。这表明了 IL-24 能诱发银屑病。基于 IL-24 及其受体在体内的表达模式, 研究人员认为 IL-24 信号通路最主要的生理功能是与伤口愈合时表皮增生功能有关^[6,7]。

本研究初步探讨了 mIL-24 诱发银屑病样病症的表型和对伤口愈合的促进作用。首先, 根据密码子的简并性优化了小鼠 IL-24 基因序列, 构建了带 Fc 标签的真核表达质粒。经转染 CHO 细胞后筛选得到阳性克隆细胞, 通过氨甲蝶呤 (MTX) 加压获得高表达 mIL-24-Fc 重组蛋白的克隆。为了适应后续实验的要求, 我们通过无血清培养基驯化培养并大量生产 mIL-24-Fc 重组蛋白, 应用 protein A 亲和层析柱得到 mIL-24-Fc 纯化样品。经过 mAbscreen、AP binding 法以及小鼠实验等证明了 mIL-24-Fc 重组蛋白的生物学活性, 我们的结果为进一步对 IL-24 的研究提供了一定线索。

2 材料与方法

2.1 材料

2.1.1 质粒、细菌菌株、细胞株 pUC57-mIL-24 质粒购于南京金斯瑞 (GenScript) 生物科技有限公司; Fc-Tag 质粒、GH2 感受态、中国仓鼠卵巢细胞 CHO(dhfr) 细胞株均来自于 GenHunter 公司。

2.1.2 主要试剂 rTaq DNA 聚合酶、限制性内切酶、DNA 连接酶购自 Takara 公司; 质粒提取试剂盒、DNA 胶回收试剂盒均来源于 Omega 公司; MTX 购自 Sigma 公司; IMDM 培养基、SFM 无血清培养基购于 Hyclone 公司; 透析胎牛血清来自 Bovogen 公司; FuGENE6 转染试剂购自 Roche 公司; 其他试剂均为国产分析纯。

2.2 方法

2.2.1 构建表达载体 将基因合成后得到的 pUC57-mIL-24 质粒, 经双酶切连接到 Fc-Tag 载体上, 再将连接产物转入 GH2 感受态细胞, 通过氨苄青霉素和四环素抗性筛选阳性克隆。通过 Fc-Tag 载体上特异性引物 L-AP(5'-gaa ccc act gct tac tgg c-3') 和 R-Fc(5'-tca ggg tct tcg tgg ctc acg-3') PCR 和测序对该重组质粒进行鉴定。

2.2.2 细胞稳定转染 将 CHO 细胞接种于含 10% 胎牛血清及 1×HT 的 IMDM 培养基中, 依据 FuGENE6 转染试剂说明书将重组质粒 mIL-24-Fc 转染 CHO 细胞, 以及不转质粒的负对照。72 h 后将培养基换为不含 HT 但含 10% 胎牛血清的 IMDM 选择培养基。每 3 d 换一次液, 利用 MTX 梯度加压以及有限稀释法获得高产的单克隆, 并扩大培养。

2.2.3 mIL-24-Fc 蛋白 CHO 细胞株无血清驯化 取 500 nM MTX 加压条件下筛选得到的 mIL-24-Fc 高表达单克隆细胞于 P100 细胞培养板中扩大培养, 至贴壁生长密度达到 90% 左右, 弃去细胞培养上清, 加入 1 mL 有血清的 IMDM(HT-) 培养基和 9 mL SFM 培养基, 于 37°C 静置培养 24 h, 保留 1 mL 细胞培养液于 P100 细胞培养板内, 并重新加入 9 mL SFM 培养基; 在剩余细胞培养液中吸取 6 mL 于 50 mL 的灭菌离心管中, P100 细胞培养板中的细胞继续于 37°C 静置培养 24 h 后, 重复以上操作三次, 分别可得到第 1~4 d 的悬浮细胞培养液样品; 每日吸取至离心管内的悬浮细胞于 37°C 190 r/min 条件下振摇培养, 每 24 h 取样一次检测细胞生长情况, 保持离心管内的细胞密度在 0.25~2 million 个/mL。待细胞的生长速度能够达到每 24 h 增长一倍时, 即可扩大培养并保种。

2.2.4 亲和层析法纯化 mIL-24-Fc 蛋白 收集阳性克隆的无血清培养基, 5000 r/min 离心 5 min 去除杂质, 根据 HiTrapTM MabSelectTM SuRe (1 mL) 填料载量, 用 1 mL 的 protein A beads 填料进行装柱后, 将 30 mL 目的蛋白培养基用 AKTA prime plus 系统进行亲和层析纯化。

2.2.5 AP-binding 染色实验 以 Endo180-Fc (GenHunter) 融合蛋白作为阳性对照, 用配体-受体结合染色法检测 mIL-24-Fc 活性。分别取 mIL-24-Fc 和 Endo180-Fc 融合蛋白的纯化样品 20 μg 与 5×蛋白上样缓冲液混合, 沸水浴 5 min, 用 10% 的 SDS-PAGE 凝胶中电泳分离蛋白, 然后进行转膜、封闭。分别以 1 U/mL 的 AP、IL-20R2-AP 和 AP-collagen 三种带有 AP 标签的融合蛋白于室温孵育 90 min, PBST 洗涤 3 次, 每次 5 min; 最后, 同时加入 AP assay reagent S 底物反应试剂进行显色。

2.2.6 mIL-24-Fc 动物实验 选取 6 只 8 周龄以上体重约 25 g 的公鼠, 3 只作为 PBS 对照组, 另外 3 只为实验组。mIL-24-Fc 纯化蛋白浓度为 2.5 mg/mL, 注射剂量为 100 μg/次, 因此每次小鼠皮内注射 40 μL 的 mIL-24-Fc 或等量 PBS, 早晚各

一次,连续注射 6d 后,取注射部位皮肤,置于 10% 的甲醛溶液中固定 24 h,经石蜡包埋获得小鼠背部切片,通过 HE 染色后观察小鼠背部组织.

同样选取 6 只 8 周龄以上体重约 25 g 的公鼠,3 只作为 PBS 对照组,另外 3 只为实验组. 将 6 只小鼠进行背部脱毛处理后用眼部手术剪挖出孔径相当的伤口 2 个/只. 腹腔注射 mIL-24-Fc 100 μg /只或等体积的 PBS 溶液,早晚各一次,每 3 天拍照,连续注射 9 天后,取注射部位皮肤,置于 10% 的甲醛溶液中固定 24 h,经石蜡包埋获得小

鼠背皮切片,通过 HE 染色后观察小鼠背部组织.

3 结 果

3.1 mIL-24-Fc 重组质粒的构建及鉴定

优化后的 mIL-24 基因约为 700 bp,将基因合成后得到的 pUC57-mIL-24 质粒,用 Hind III 和 Bgl II 限制内切酶双酶切连接到 Fc-Tag 载体上(图 1A). 其测序结果与插入基因序列完全一致,同时用 Fc-Tag 载体上特异性引物 L-AP 和 R-Fc 进行质粒 PCR 鉴定(图 1B),得到相当大小的 PCR 产物.

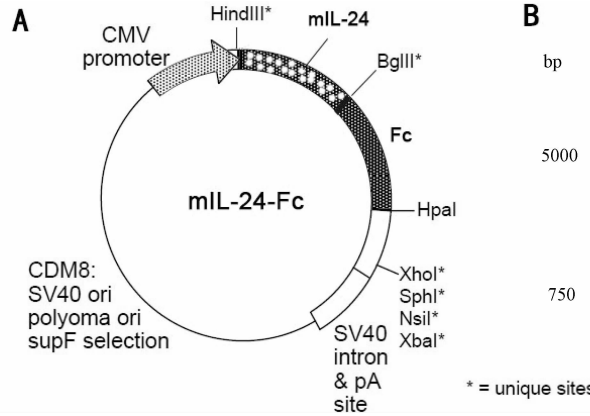


图 1 mIL-24-Fc 质粒的构建

(A)mIL-24-Fc 质粒结构示意图;(B)mIL-24-Fc 重组质粒 PCR 鉴定结果. 目的条带大小约为 700 bp.

Fig. 1 Construction of mIL-24-Fc Plasmid

(A) plasmid structure diagram of mIL-24-Fc. (B) PCR product of mIL-24-Fc. The purpose objective strap size is 700 bp.

3.2 mIL-24-Fc 蛋白纯化

mIL-24 蛋白的 C 端融合了 Fc-Tag,因此 mIL-24-Fc 蛋白样品可以通过 protein A 亲和层析柱进行亲和层析,再将纯化蛋白超滤至 PBS 缓冲液中保存,再用 10% 的 SDS-PAGE 凝胶电泳分离纯化前的样品、透析液中的样品和纯化后的样品,考马斯亮蓝染色分析结果表明,原液中的杂蛋白经 protein A 亲和层析柱纯化后得到高纯度的洗脱回收液,同时透析液中未见目的蛋白,说明目的蛋白均挂上了层析柱(图 2).

3.3 AP binding 染色 mIL-24-Fc 蛋白

AP binding 染色是利用受体-配体的特异性结合原理,Fc-Tag 的配体与带有 AP-Tag 的受体结合后,可用 AP 的底物 reagent S 显色. mIL-24-Fc 的特异性受体为 IL-20R2-AP,用 Endo180-Fc 作为负对照,它的特异性受体为 AP-collagen. 当用 AP 同时孵育 mIL-24-Fc 和 Endo180-Fc 时,显色 10min 均无颜色;用 AP-collagen 同时孵育 mIL-24-Fc 和 Endo180-Fc 时,显色 10min, mIL-24-Fc 无色,而 Endo180-Fc 显色. 用 IL-20R2-AP 同时孵

育 mIL-24-Fc 和 Endo180-Fc 时,显色 10min,mIL-24-Fc 显色,而 Endo180-Fc 无色(图 3).

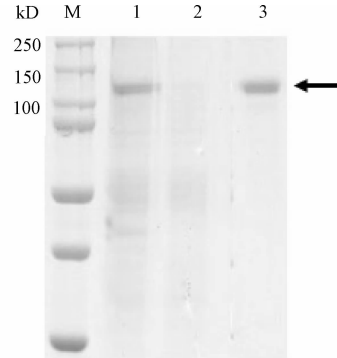


图 2 mIL-24-Fc 蛋白纯化

第一泳道为原液样品,第二泳道为透析液样品,第三泳道为纯化样品. 目的蛋白大小为 130kD 左右.

Fig. 2 Purification of Protein mIL-24-Fc
Lane 1: cleared soluble protein fluid. Lane 2: flow-through fraction from Protein A column. Lane 3: Elution profile of mIL-24-Fc. mIL-24-Fc: 130kD.

3.4 mIL-24-Fc 蛋白促进小鼠表皮增生

小鼠皮内注射 mIL-24-Fc 或 PBS,早晚各一次,共计六天. 至实验结束时,可见 mIL-24-Fc 注射

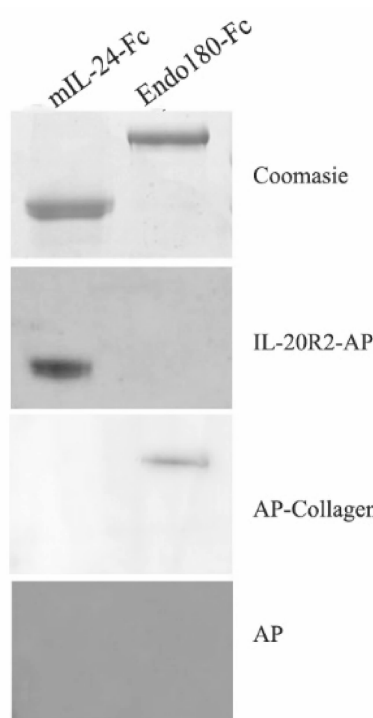


图 3 mIL-24-Fc 纯化样品生物活性检测

用 AP-collagen 和 IL-20R2-AP 分别识别 Endo180-Fc 和 mIL-24-Fc 蛋白, 使目标蛋白生成可见的蓝紫色。

Fig. 3 Bioassay of Protein mIL-24-Fc
AP-collagen and ILR2-AP can respectively identify Endo180-Fc and mIL-24-Fc protein. The AP binding make the target protein to generate visible violet.

部位皮肤红肿, 经 HE 染色实验观察, 两组小鼠的表皮组织厚度都不是均匀地, 其角化细胞均有单层或多层分布, 它们最薄的表皮部位均为 1~2 层角化细胞, 我们在这里分别选取 PBS 和 mIL-24-Fc 实验组中最厚的表皮部位进行比较, 如图 4 所示, PBS 对照组表皮组织中最厚的部位具有 2~3 层角化细胞, 而 mIL-24-Fc 实验组表皮组织中最厚的部位具有 5~6 层角化细胞, 且增厚的表皮范围较广。表明在小鼠皮内注射 mIL-24-Fc 融合蛋白可以诱导小鼠的角化细胞增生。

3.5 mIL-24-Fc 蛋白促进小鼠伤口愈合

小鼠腹腔注射 100 $\mu\text{g}/\text{只}$ mIL-24-Fc 或等量 PBS, 从 Day 0 开始拍照观察直至 day 9. 图 5 表明, Day 3 开始, PBS 组和实验组伤口均缩合, PBS 组伴有出血但实验组已止血. Day 5 开始 PBS 结痴, 而实验组痴已退去表皮恢复平整. Day 9 开始实验组伤口已变小, 而实验组还是痴期.

4 讨 论

银屑病的主要病理改变是表皮增生, 角质化和真皮炎细胞浸润. 白介素 10 家族在银屑病中的地位暗示了白介素 24 研究的可观性. mIL-24 在原核表达系统中表达为包涵体, 变性复性困难, 本实验

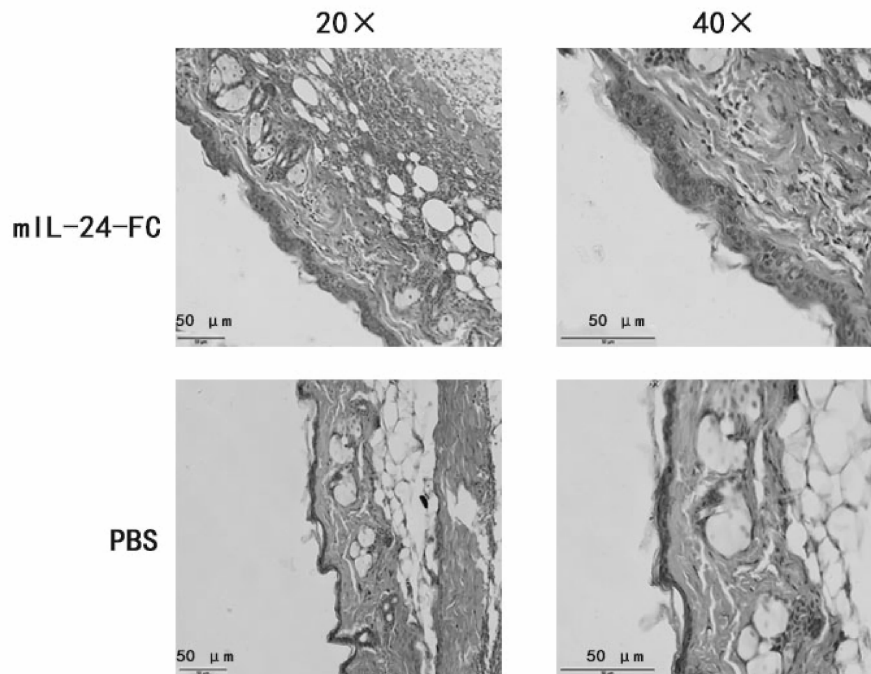


图 4 mIL-24-Fc 实验小鼠背皮 HE 染色. 分别于 20 \times 和 40 \times 物镜下观察结果

Fig. 4 HE Staining of Mouse Skin. Viewed under 20 \times and 40 \times lens

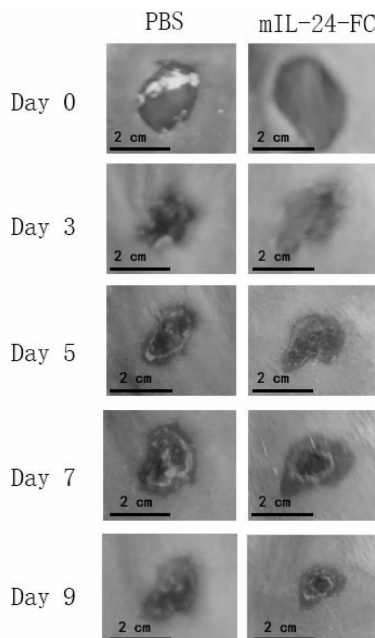


图 5 注射 mIL-24-Fc 伤口的愈合情况

Fig. 5 mIL-24-Fc treatment promoted faster wound healing *in vivo*
Representative photos are shown

优化了 CHO 细胞真核表达系统^[8],通过无血清培养技术对蛋白进行修饰表达,并通过 MTX 加压筛选高表达细胞,对后期纯化非常有益,简便快捷。王等^[9]提出的模型中采用 200 $\mu\text{g}/\text{次}$ 剂量,而我们的 mIL-24-Fc 半衰期短,约为 2.6 h,因此必须多次少剂量注射。同样,我们的小鼠模型能诱发相应的银屑病状,表皮红肿增生,同时还具有一定促愈合作用支持了 IL-23 调控的银屑病症状^[10],也可作为人银屑病研究的样本^[11]。Andoh 等^[12]发现,在炎性肠病患者炎性黏液中 IL-24 mRNA 表达升高。在炎性肠病的机制研究中发现,IL-24 可以激活 JAK1/STAT-3/SOCS3 这个级联反应,这说明 IL-24 在炎性肠病中的生物学功能同相关细胞因子信号传导途径有关。这认证了 IL-24 在组织中的修复作用。

一些研究者认为,IL-24 与抑癌有一定关联^[13]。他们认为 IL-24 在不影响正常细胞的情况下,有一定广谱抗肿瘤的活性,对多种来源的肿瘤细胞均有一定抗性^[14]。这也将成为我们后期讨论的目标。

参考文献:

- [1] Jiang H, Lin J J, Su Z Z, et al. Subtraction hybridization identifies a novel melanoma differentiation associated gene, mda-7, modulated during human melanoma differentiation, growth and progression [J]. *Oncogene*, 1995, 11(12): 2477.
- [2] Wang M, Liang P. Interleukin-24 and its receptors [J]. *Immunology*, 2005, 114: 166.
- [3] Wang M, Tan Z, Zhang R, et al. Interleukin 24 (MDA-7/MOB-5) signals through two heterodimeric receptors, IL-22R1/IL-20R2 and IL-20R1/IL-20R2 [J]. *J Biol Chem*, 2002, 277: 7341.
- [4] Liu Y, Krueger J G, Bowcock A M. Psoriasis: genetic associations and immune system changes [J]. *Genes Immun*, 2007, 8(8): 1.
- [5] He M, Liang P. IL-24 transgenic mice: in vivo evidence of overlapping functions for IL-20, IL-22, and IL-24 in the epidermis [J]. *J Immunol*, 2010, 184(4): 1793.
- [6] Soo C, Shaw WW, Freymiller E, et al. Cutaneous rat wounds express c49a, a novel gene with homology to the human melanoma differentiation associated gene, mda-7 [J]. *J Cell Biochem*, 1999, 74(1): 1.
- [7] Kreis S, Philippidou D, Margue C, et al. IL-24: a classic cytokine and/or a potential cure for cancer [J]. *J Cell Mol Med*, 2008, 12(6A): 2505.
- [8] 马登俊,陈金武,吴传芳. 人凝血因子Ⅷ在 CHO/G44 细胞中的表达[J]. 四川大学学报:自然科学版, 2015, 52(3): 673.
- [9] 王琼玉,张爱军,马慧群,等. 腺病毒介导的 PML 基因对银屑病样小鼠模型的作用 [J]. 南方医科大学学报, 2013, 33(3): 432.
- [10] Romer J, Hasselager E, Norby PL, et al. Epidermal overexpression of interleukin-19 and -20 mRNA in psoriatic skin disappears after short-term treatment with cyclosporine a or calcipotriol [J]. *J Invest Dermatol*, 2004, 121: 1306.
- [11] Chan J R, Blumenschein W, Murphy E, et al. IL-23 stimulates epidermal hyperplasia via TNF and IL-20R2-dependent mechanisms with implications for psoriasis pathogenesis [J]. *J Exp Med*, 2006, 203: 2577.
- [12] Andoh A, Shioya M, Nishida A, et al. Expression of IL-24, an activator of the JAK1/STAT3/SOCS3 cascade, is enhanced in inflammatory bowel disease [J]. *J Immunol*, 2009, 183(1): 687.
- [13] Huang E Y, Madireddi M T, Gopalkrishnan R V, et al. Genomic structure, chromosomal localization and expression profile of a novel melanoma differentiation associated (mda-7) gene with cancer specific growth suppressing and apoptosis inducing properties [J]. *Oncogene*, 2001, 20(48): 7051.
- [14] Caudell E G, Mumm J B, Poindexter N, et al. The protein product of the tumor suppressor gene, melanoma differentiation-associated gene 7, exhibits immunostimulatory activity and is designated IL-24 [J]. *J Immunol*, 2002, 168(12): 6041.